УЛК 539.172.5

ИЗУЧЕНИЕ МЕХАНИЗМОВ АДРОН-ЯДЕРНЫХ ВЗАИМОДЕЙСТВИЙ НА ПОЛОЖИТЕЛЬНОМ ПУЧКЕ 18 КАНАЛА УСКОРИТЕЛЯ У-70

© 2023 г. А. М. Горин¹, С. В. Евдокимов¹, А. А. Зайцев², В. И. Изучеев¹, Е. С. Кондратюк¹, Б. В. Полищук¹, В. И. Рыкалин¹, С. А. Садовский^{1, *}, Ю. В. Харлов¹, А. А. Шангараев¹

¹Федеральное государственное бюджетное учреждение "Институт физики высоких энергий имени А.А. Логунова Национального исследовательского центра "Курчатовский институт", Протвино, Россия

²Международная межправительственная организация "Объединенный институт ядерных исследований", Дубна, Россия

*E-mail: Serguei.Sadovsky@ihep.ru Поступила в редакцию 28.02.2023 г. После доработки 24.03.2023 г. Принята к публикации 28.04.2023 г.

Представлен проект модернизации экспериментальной установки Гиперон-М, расположенной на положительном пучке ускорительного комплекса У-70 в Протвино, с целью изучения механизмов адрон-ядерных взаимодействий. Установку предлагается модернизировать так, чтобы получить возможность изучать возбужденные состояния вторичных ядер, образующихся в результате разных типов первичных адрон-ядерных взаимодействий, методами прецизионной ядерной гамма-спектроскопии. Потенциально это открывает новое направление в ядерной физике на стыке с физикой элементарных частиц промежуточных энергий.

DOI: 10.31857/S0367676523701995, EDN: ZBPJQP

ВВЕДЕНИЕ

Детальное изучение адрон-ядерных взаимодействий в различных процессах имеет большое значение для понимания механизмов сильного взаимодействия нуклонов в атомных ядрах, исходя из первых принципов, а также для поиска возможных эффектов модификации свойств адронов внутри атомных ядер по сравнению с таковыми в вакууме. Целью проекта является экспериментальное изучение возбужденных состояний ядер, образующихся в результате взаимодействия адронов пучка с ядерными мишенями при импульсах от 5 до 10 ГэВ/с, а также поиск возможных модификаций свойств мезонов, барионов и дибарионных резонансов, если их распады произошли в атомных ядрах. Основное внимание предлагается уделить процессам возбуждения $\Delta(1232)$ -изобар в т.н. Д-ядрах, см. например [1], равно как и процессам возбуждения дибарионных состояний $(N^*\Delta, \Delta\Delta)$ в ядрах. Несмотря на то, что квантовая хромодинамика (КХД) цветных кварков и глюонов является общепризнанной теорией сильных взаимодействий, современное теоретическое описание атомных ядер основано на феноменологических моделях взаимодействия бесцветных нуклонов (барионов) и легких мезонов. При этом притяжение нуклонов на сравнительно больших расстояниях (≈1.5 Фм) обеспечивается обменом псевдоскалярными мезонами (в основном пионами), а их отталкивание на близких расстояниях (≈ $0.25\,\Phi$ м) обменом векторными мезонами (ρ , ω , ϕ) при, напомним, радиусе самого нуклона 0.86 Фм. Откуда сразу видно, что такая модель изолированных нуклонов в ядре является внутренне противоречивой — отталкивание нуклонов наступает, когда их волновые функции в ядре уже в значительной мере перекрываются [2]. Выход из этих противоречий наметился в последнее время. Он основан на дибарионных (шестикварковых) резонансах: на малых расстояниях два нуклона (бариона) теряют свою индивидуальность и превращаются в шестикварковое состояние, одетое мезонными полями, а на сравнительно больших расстояниях формируются, собственно, дибарионные резонансы. В результате возникает своеобразный мостик, соединяющий КХД и ядерную физику, см [3]. Эта картина согласуется с современными представлениями о нуклоне (p, n) как объекте, имеющем достаточно плотное ядро из конституентных кварков с радиусом порядка 0.3 Фм и рыхлую периферию (корону) [4]. Что касается конкретных дибарионных резонансов, интерес представляют, прежде всего, состояния с $\Delta(1232)$ -барионами, т.е. резонансы в $N^*\Delta$ - и $\Delta\Delta$ -системах. Это связано не в последнюю очередь с наблюдением в эксперименте WASA-at-COSY [5] узкого дибарионного резонанса $d^*(2370)$, распадающегося по каналу $d\pi\pi$ через промежуточное $\Delta^+\Delta^0$ -состояние.

Адрон-ядерные взаимодействия при энергиях выше порога выбивания отдельных нуклонов или фрагментов из ядра-мишени могут приводить к прямым реакциям, которые сопровождаются возбуждением частиц пучка, вторичных ядер, фрагментов. При импульсах меньших 4 ГэВ/с такие реакции приводят, в основном, к перераспределению нуклонов между частицами пучка и ядром-мишенью, формируя, как правило, возбужденные состояния ядер. В многочисленных экспериментах этот класс реакций хорошо изучен, и получено огромное количество экспериментальных данных, лежащих в основе современной ядерной физики.

В области импульсов пучка выше 4 ГэВ/с дополнительно открываются возможности изучать образование и свойства вторичных ядер, образующихся за счет различных Редже-обменов в t-канале реакции при малых квадратах переданных импульсов. При этом отбор конкретного конечного состояния в области фрагментации пучка позволяет фиксировать тип соответствующего t-обмена и тем самым изучать возбуждения вторичных ядер, характерные для данного Редже-обмена в *t*-канале. Например, в реакции $^7\text{Li}(\pi^+,\pi^0)^7$ Ве возбуждение ядра 7 Ве идет за счет ρ -обмена, а в реакции 7 Li $(\pi^{+}, 2\pi^{0})^{7}$ Be — уже за счет π -обмена. Идентификация возбужденных состояний вторичных ядер при этом может быть проведена методом прецизионной ядерной у-спектроскопии, т.е. путем измерения у-спектров в ядерных электромагнитных переходах.

Ядерная у-спектроскопия потенциально позволяет не только определить, на каком возбужденном уровне образовалось вторичное ядро в реакции, но и определить, произошел ли распад вторичного барионного состояния в вакууме или внутри вторичного ядра. Например, если распад Δ^+ (1232)-бариона произошел в вакууме, то энергия t-обмена пошла на перевод одного из нейтронов первичного ядра в Δ^+ (1232)-изобару, а также на выбивание этой изобары из ядра. А если в результате реакции образовалось Δ^+ -ядро, то при этом энергия на выбивание изобары из ядра уже не тратится, да к тому же и масса Δ^+ (1232) изобары в ядре заметно меньше, чем в вакууме, см. [1]. В сумме разница в энергии возбуждения Δ^+ -изобары в вакууме и в Δ^+ -ядре может достигать 50-70 MэB.

УСТАНОВКА ГИПЕРОН+

С целью последовательного изучения механизмов адрон-ядерных взаимодействий ниже представлен проект установки Гиперон+ как результат планируемой модернизации существующей установки Гиперон-М [6—8], расположен-

ной на 18 канале ускорительного комплекса У-70. Канал 18 предназначен для вывода вторичного положительного пучка частиц с импульсом в диапазоне от 5 до 10 ГэВ/с. Интенсивность пучка экспоненциально падает с ростом его импульса. При 7 ГэВ/с и поперечном размере пучка 4×4 см² (задается коллиматорами) интенсивность может достигать 5×10^5 част./сброс. В пучке до 50% π^+ -мезонов, 46% протонов, 4% K^+ -мезонов и до 0.3% дейтронов. Парциальный состав пучка зависит от его импульса, энергии ускорения первичных протонов в У-70 и материала внутренней мишени. Как правило, используются 9 Ве или 12 С мишени.

Схема установки Гиперон+ приведена на рис. 1. Установка включает в себя пучковый телескоп сцинтилляционных счетчиков S1-S4, четыре черенковских счетчика С1-С4, ядерную мишень Т диаметром 4.0 см, сцинтилляционный вето-счетчик SA для подавления событий с заряженными частицами в передней полусфере. сцинтилляционный триггерный антисчетчик пучка SB для подавления непровзаимодействовавших с мишенью частиц пучка, спектрометр гамма-ядерных переходов GNT (Gamma Nuclear Transition), вето-детектор заряженных частиц CPV (Charge Particle Veto) и электромагнитный черенковский спектрометр полного поглощения из свинцового стекла LGD2 (Lead Glass Detector). LGD2 является базовым детектором установки Гиперон-М. Он используется для измерения энергий и координат фотонов, образующихся в первичных адрон-ядерных взаимодействиях

$$h + {}^{A}Z \rightarrow M^{0} + {}^{A}(Z+1) \rightarrow n\gamma + {}^{A}(Z+1),$$
 (1)

и вылетающих вперед, в апертуру спектрометра. Здесь $h = \pi^+$, K^+ , p; $^AZ -$ ядро мишени с атомным номером A и зарядом Z; M^0 — мезонное состояние, распадающееся в конечном счете на п фотонов; $^A(Z+1)$ — вторичное ядро. Конструктивно LGD2 представляет собой матрицу 24×24 свинцовых стекол размером $8.5 \times 8.5 \times 35$ см 3 , каждое из которых с торца просматривается ФЭУ-139. Импульсы сигналов с ФЭУ оцифровываются 12-битными АЦП и далее считываются системой сбора данных установки. Более подробное описание спектрометра LGD2 и эксперимента Гиперон-М в целом см. в работах [6-8].

Спектрометр гамма-ядерных переходов GNT и вето-детектор заряженных частиц CPV являются новыми детекторами, которые предстоит создать в рамках модернизации установки Гиперон-М до уровня установки Гиперон+. Как уже отмечалось выше, спектрометр GNT предназначен для регистрации и измерения энергий γ -квантов, излучаемых вторичным ядром $^{\rm A}(Z+1)$ в реакции (1) при γ -переходах его возбужденных состояний в низколежащие. При этом есть основания полагать, что спектр возбужденных

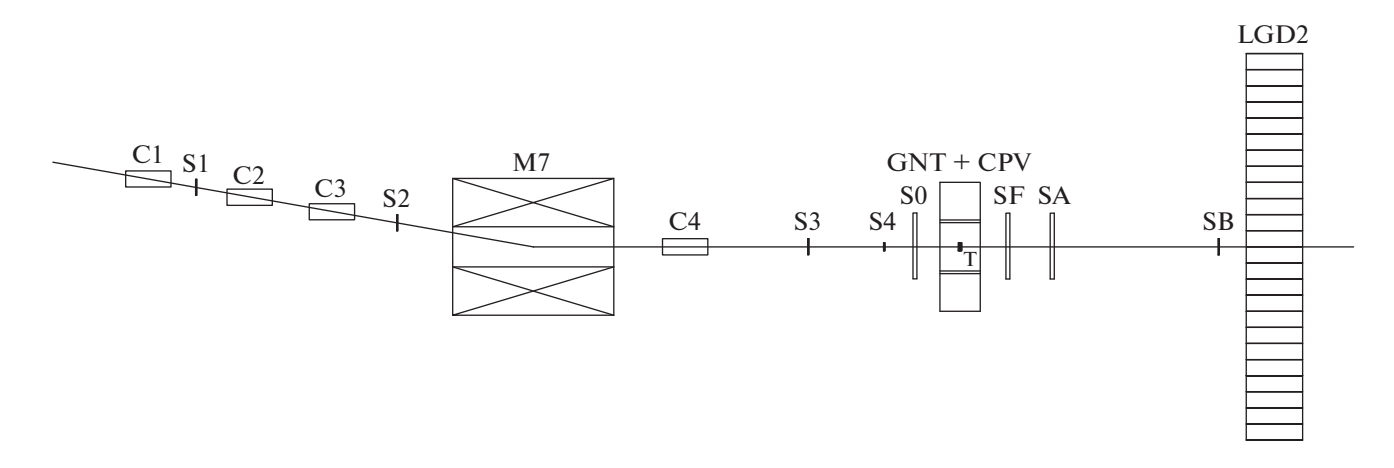


Рис. 1. Схема экспериментальной установки Гиперон+: S1-S4- пучковые сцинтилляционные счетчики, C1-C4- черенковские счетчики, M7- дипольный магнит наведения пучка на мишень, T- мишень, SO- сцинтилляционный вето-счетчик задней полусферы, SF- сцинтилляционный вето-счетчик передней полусферы, SA- сцинтилляционный счетчик нейтрального тритгера, SB- сцинтилляционный триггерный антисчетчик пучка, CPV- вето-детектор заряженных частиц, GNT- спектрометр гамма-ядерных переходов, LGD2- черенковский электромагнитный спектрометр полного поглощения с радиаторами из свинцового стекла.

состояний вторичного ядра зависит от механизма его возбуждения. Поэтому, например, в реакциях ${}^{9}\mathrm{Be}(\pi^{+},\pi^{0})$ ${}^{9}\mathrm{B}$ и ${}^{9}\mathrm{Be}(\pi^{+},2\pi^{0})$ ${}^{9}\mathrm{B}$ следует ожидать разные энергетические спектры ү-девозбуждения вторичного ядра ⁹В. На рис. 2 в качестве иллюстрации приведена известная схема возбужденных уровней для этого ядра, см. [9]. Как видно из рисунка, ожидаемый энергетический спектр у-переходов варьируется от одного и до 20 МэВ. Это характерный диапазон энергий ү-ядерных переходов в легких ядрах. И именно в этом диапазоне энергий спектрометр GNT должен обеспечить достаточно высокое энергетическое разрешение (порядка 7% при энергии фотона ~1 МэВ) для идентификации спектров возбужденных состояний вторичных ядер.

С целью обеспечения указанного разрешения в ядерных у-переходах в качестве детектирующих элементов в спектрометре GNT предлагается использовать кристаллы NaI(Tl) с размерами D/L == 63.5/63.5 мм, а в качестве фотодетекторов – фотоумножители ФЭУ-184ТД с диаметром окна фотокатода 70 мм. Длина кристалла L = 63.5 мм соответствует 2.45 радиационной длины. Поэтому электромагнитные ливни от фотонов с энергией 3—4 МэВ и выше будут уже заметно вытекать из кристаллов, что приведеткухудшению энергетического разрешения спектрометра. Чтобы улучшить разрешение для ливней в диапазоне энергий от 3 до 20 МэВ, предлагается наряду с кристаллами NaI(Tl) использовать кристаллы BGO геометрически таких же размеров как и NaI(Tl). В качестве фотодетекторов также будут использоваться ФЭУ-184ТД. В целом, спектрометр GNT будет состоять из 18 детектирующих элементов (кристалл с фотоумножителем), сгруппированных в три одинаковых кольца, т.е. по шесть элементов в кольце. Центральное кольцо при этом будет изготовлено из BGO кристаллов, а два боковые — из кристаллов NaI(Tl). Внешне кольца неотличимы. Все три кольца должны быть соединены между собой, а также с вето-детектором CPV, в единое целое при помощи соответствующей инфраструктуры. В геометрическом центре детекторов располагается мишень установки Т диаметром 4 см. Вид детекторов со стороны пучка показан на рис. 3.

Как уже отмечалось выше, вето-детектор заряженных частиц CPV являются другим важным детектором, который планируется создать в рамках модернизации установки Гиперон-М. Схематически детектор показан на рис. 4. Он состоит из шести сцинтилляционных пластин, которые ориентированы вдоль пучка и перекрывают всю фронтальную (по отношению к мишени) поверхность спектрометра GNT, а также двух торцевых сцинтилляционных счетчиков: переднего SF и заднего SO. Последний в отличие от счетчика SF имеет отверстие в центре, чтобы беспрепятственно пропустить пучок на мишень установки (рис. 1). Размеры продольных пластин $30 \times 9 \times 0.4$ см³. Пластины просматриваются с одного из торцов кремниевыми фотоумножителями (SiPM) MicroFC-30035-SMT-TA. Торцы продольных пластин видны и на рис. 3. Для повышения эффективности светосбора и концентрации света на светочувствительную поверхность кремниевых фотоумножителей при производстве всех сцинтилляционных пластин будет использоваться техника спектросмещающих волокон [10].

Торцевые сцинтилляционные счетчики SF и SO имеют форму квадратной пластины размером $32 \times 32 \times 0.3$ см 3 со срезанными углами для стыковки с SiPM. Пластины торцевых счетчиков сег-

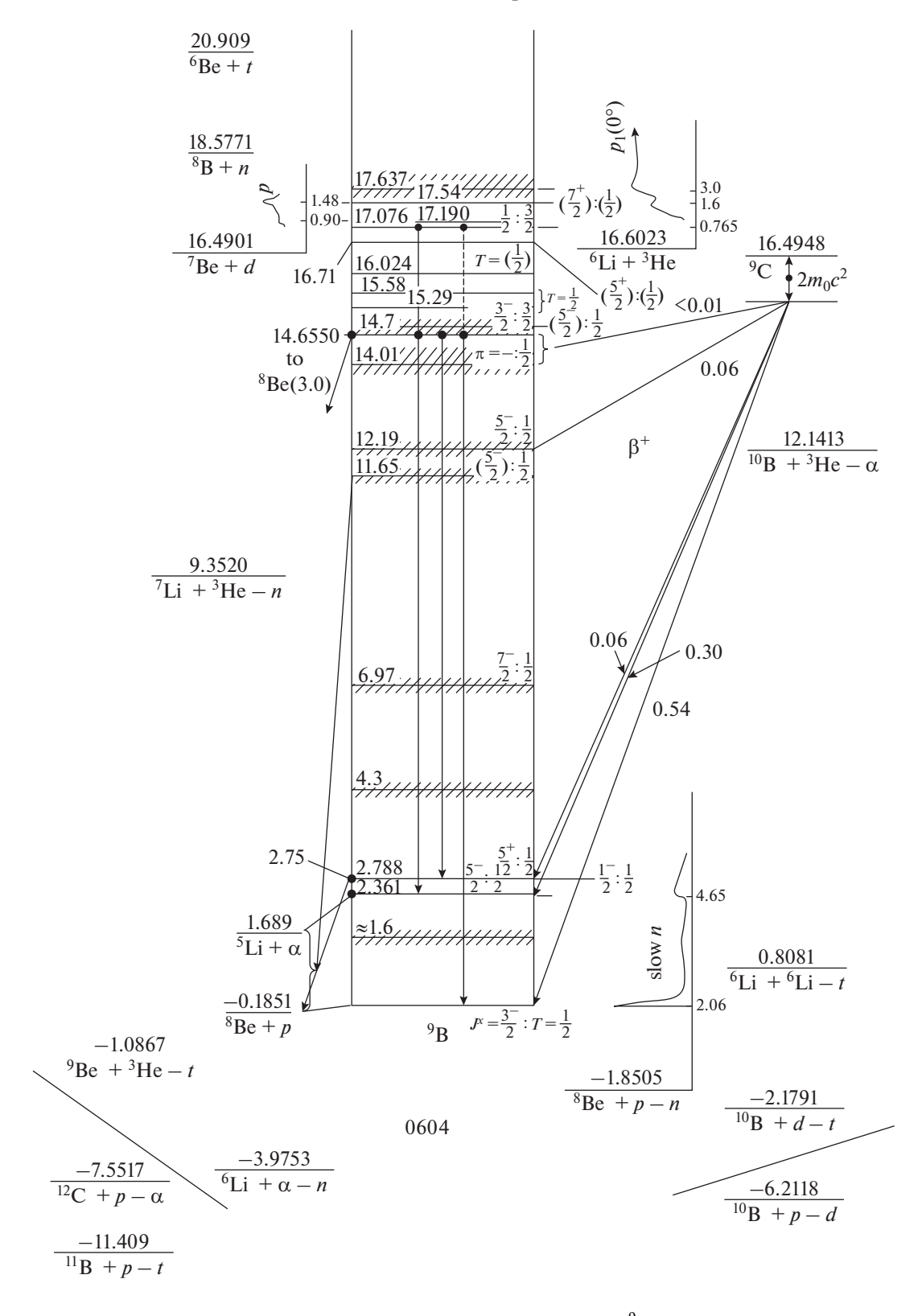


Рис. 2. Известные уровни возбуждения ядра 9 В [9].

ментируются на 4 равные квадратные части. Для вывода излучения из секций пластины предполагается использовать спектросмещающие волок-

на. В результате каждая часть сегментированной пластины торцевого счетчика будет просматриваться своим SiPM. Импульсы со всех кремние-

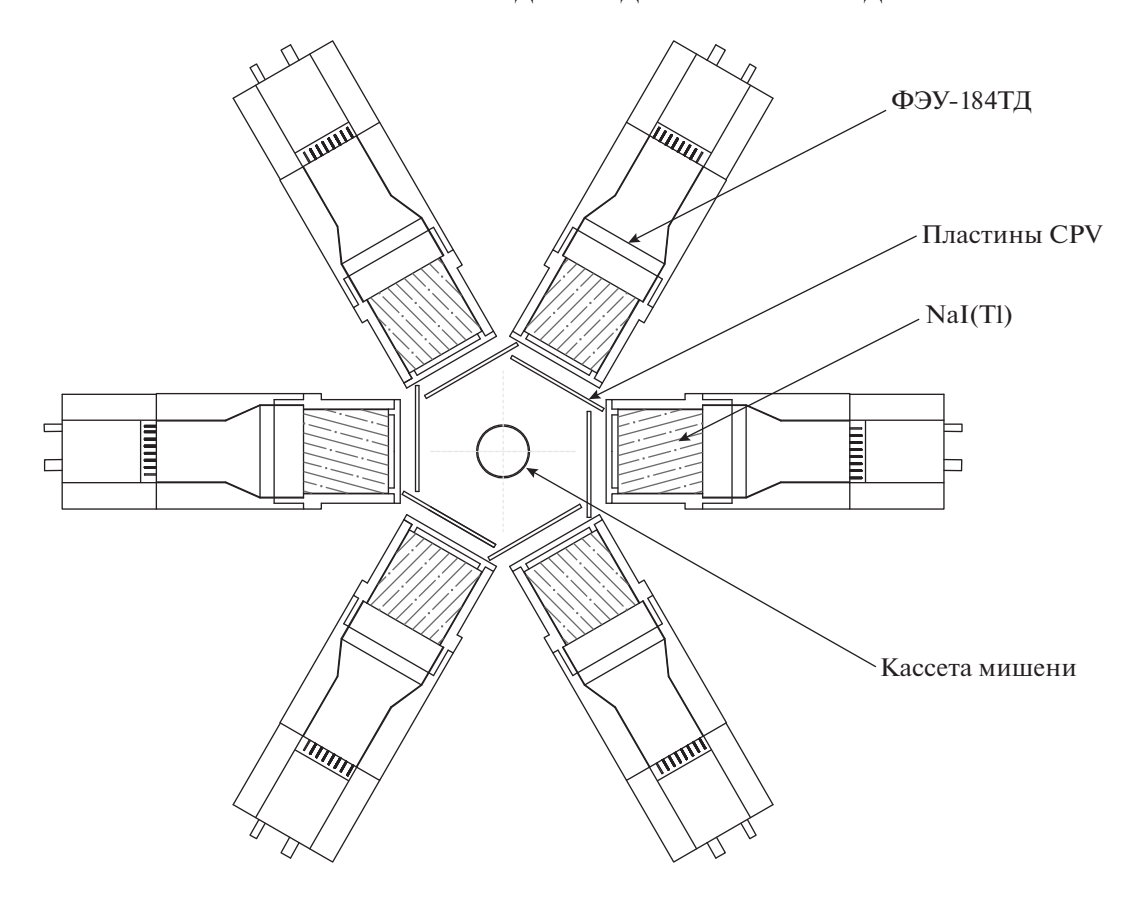


Рис. 3. Кольцо детектирующих элементов спектрометра GNT (вид с торца), показаны кристаллы NaI(Tl), фотоумножители ФЭУ-184ТД, пластины сцинтилляционного бочонка детектора CPV, кассета мишени.

вых фотоумножителей детектора CPV подаются на 12-битные АЦП для оцифровки. В выработке триггера на первом этапе эксперимента они не участвуют. Отбор событий по информации со счетчиков вето-детектора будет проводиться offline. Однако впоследствии планируется включить их в триггер эксперимента.

Детектор CPV играет в эксперименте двойную роль. Во-первых, он служит для подавления фона от вторичных заряженных частиц в счетчиках спектрометра GNT и тем самым повышает их чувствительность к неинтенсивным линиям ядерных γ-переходов. Во-вторых, он будет использоваться в эксперименте для организации нейтрального триггера.

ПРОГРАММА ЭКСПЕРИМЕНТА

Детектор CPV и спектрометр GNT существенно расширяют физические возможности эксперимента Гиперон+. Если ввести в триггер все счетчики CPV, т.е. потребовать отсутствие заряженных частиц в событиях фактически в полном (близком к 4π) телесном угле, то это позволит отбирать процессы p^AZ рассеянии назад в СЦМ реакции, сопровождающиеся образованием в пе-

редней полусфере легких нейтральных мезонов, многофотонные распады которых будут зарегистрированы спектрометром LGD2. Эти события обусловлены барионным обменом в t-канале, анализ их представляет большой интерес (подробнее см. в [11]). Во-вторых, отбор событий по данным с детектора CPV совместно с отбором по полному энерговыделению в LGD2 важен для повышения чистоты выделения эксклюзивных реакций (1) в эксперименте, т.к. конкретный обмен в t-канале можно надежно идентифицировать только в эксклюзивной реакции. В целом, процессы рождения π^0 , η , ω , $f_2(1270)$ мезонов и $2\pi^0$ -систем позволяют потенциально изучать возбуждение изотопов легких ядер-мишеней, например, Li, Ве, В, С, N, О, за счет π , ρ , a_2 и Z обменов в t-канале реакции (1).

Рассмотрим теперь возможности, открывающиеся при наличии заметного количества дейтронов в пучке 18 канала. В процессе d^AZ диффракционного рассеяния возможно образование дибарионного $d^*(2370)$ состояния, которое в конечном счете распадается, в том числе, и по каналу $d2\pi^0$, см. [5, 12]. Применительно к установке Гиперон+ в этой связи нас интересует $2\pi^0$ -система с массой вблизи порога, которая должна реги-

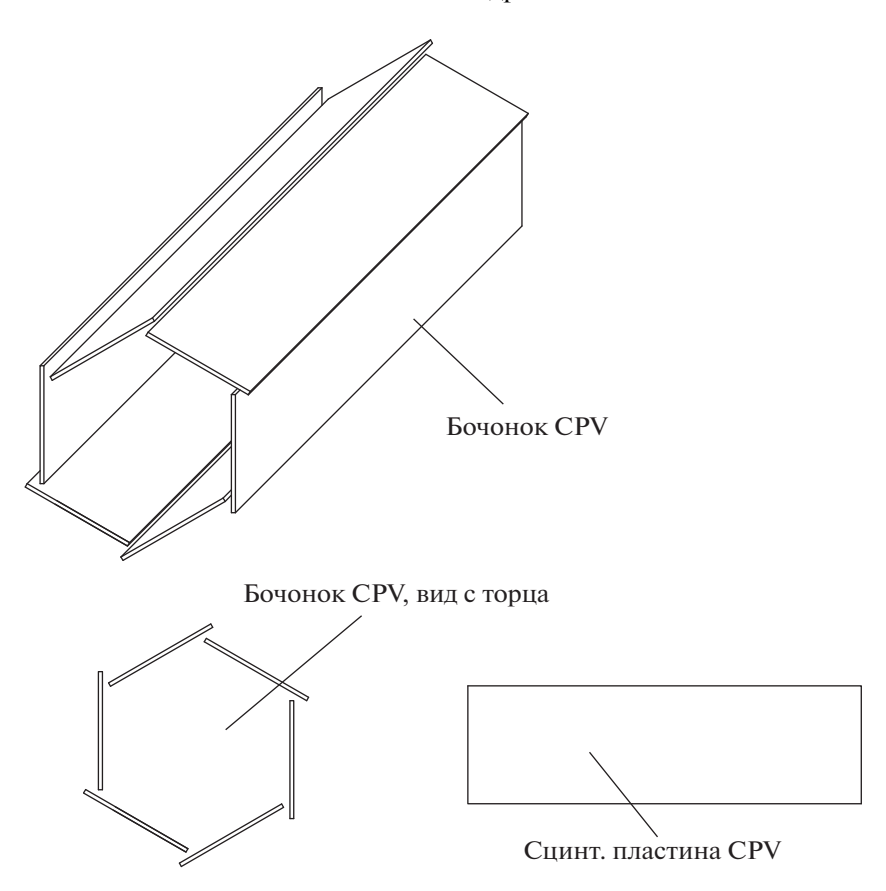


Рис. 4. Схематический вид вето-детектора заряженных частиц CPV: вверху показан бочонок сцинтилляционных счетчиков, внизу слева — вид бочонка с торца, справа — одна из сцинтилляционных пластин бочонка, SiPM не показаны.

стрироваться в LGD2 даже при характерно низкой суммарной энергии системы в этом процессе. Это позволяет провести систематическое изучение образования d*(2370) состояний на указанных выше легких ядрах.

Спектрометр GNT, как уже отмечалось выше, предназначен для регистрации и идентификации возбужденных состояний вторичных ядер методами прецизионной ядерной гамма-спектроскопии. Последняя позволяет получить данные о состояниях вторичных ядер и связать их с разными механизмами адрон-ядерных взаимодействий, выделяя те или иные мезонные состояния, детектируемые в спектрометре LGD2. В результате, в одном эксперименте мы получаем возможность одновременно изучать и сравнивать конфигурации состояний вторичных ядер, возбужденных за счет, скажем, π , ρ и др. обменов, см. выше. Насколько нам известно, конфигурации возбужденных уровней легких ядер, характерных при разных обменах в t-канале, ранее не изучались.

Другим перспективным направлением исследований является физика $\Delta(1232)$ -ядер [1]. Экспериментальный подход к этой проблеме применительно к установке Гиперон+ продемонстрируем

на примере реакции зарядовообменного π^{+9} Верассеяния с образованием Δ^+ (1232)-изобары:

$$\pi^{+} + {}^{9}\text{Be} \to \pi^{0} + \Delta^{+} (1232) + {}^{8}\text{Be} \to$$

 $\to \pi^{0} + p + \pi^{0} + {}^{8}\text{Be}.$ (2)

Принципиальным здесь является вопрос – образовалась ли Δ^+ (1232)-изобара свободной, и тогда ее распад произошел в вакууме. Или она вошла в компаунд-ядро совместно с ⁸Ве, и тогда ее распад произошел в этом ядре. Если изобара была свободной, то мы должны наблюдать характерные гамма-переходы ядра ⁸Ве, а если изобара распалась внутри компаунд-ядра, то картина энергетических уровней ⁸Ве наблюдаться не будет, но должны наблюдаться фотоны в спектрометре GNT от каскадного распада $\Delta^+ \to p\pi^0 \to p + 2\gamma$, причем их энергетический спектр будет сдвинут в меньшую сторону по отношению к распаду изобары в вакууме за счет дефекта массы Δ^+ изобары в компаунд-ядре. Этот эффект, например, в ядре ¹²С достигает 24 МэВ, см. [1].

Наконец, наряду с Δ^+ (1232)-гиперядрами спектрометр GNT позволяет начать систематическое изучение и d^* (2370) ядер, где d^* (2370) диба-

рион образует компаунд-ядро в конечном состоянии реакции. Здесь также критическое значение имеет возможность GNT дифференцировать события по измеряемому энергетическому спектру фотонов, когда d*(2370) дибарион распался в вакууме, от таковых, когда распад произошел в компаунд-ядре. В рамках эксперимента Гиперон+предлагается провести изучение указанных выше процессов на различных ядрах и при разных обменах в t-канале реакции.

ЗАКЛЮЧЕНИЕ

Представленный проект экспериментальной установки Гиперон+ позволяет провести систематическое изучение адрон-ядерных взаимодействий на У-70. Авторы выражают благодарность П.И. Зарубину, В.Ф. Образцову и Р.Н. Рогалеву за многочисленные обсуждения рассмотренных здесь вопросов.

Исследование выполнено за счет средств Российского научного фонда (проект № 22-12-00095).

СПИСОК ЛИТЕРАТУРЫ

1. *Мухин К.Н., Патаракин О.О. //* УФН. 1995. Т. 165. № 8. С. 841; *Mukhin K.N., Patarakin O.O. //* Phys. Usp. 1995. V. 38. No. 8. P. 803.

- 2. Barnes T., Capstick S., Kovarik M.D., Swanson E.S. // Phys. Rev. C. 1993. V. 48. P. 539.
- 3. Kukulin V.I., Pomerantsev V.N., Rubtsova O.A., Platonova M.N. // Phys. Atom. Nucl. 2019. V. 82. No. 6. P. 934.
- 4. Wei Kou, Chengdong Han, Xurong Chen // arXiv: 2107.13699v1. 2021.
- Adlarson P., Augustyniak W., Bardan W. et al. // Phys. Lett. B. 2013. V. 721. P. 229.
- 6. Боголюбский М.Ю., Викторов В.А., Петров В.С. и др. // ПТЭ. 2006. № 1. С. 67; Bogolyubskii М.Yu., Viktorov V.A., Petrov V.S. et al. // Instrum. Exp. Tech. 2006. V. 49. No. 1. P. 61.
- 7. Боголюбский М.Ю., Евдокимов С.В., Изучеев В.И. и др. // ЯФ. 2013. Т. 76. № 11. С. 1389; Bogolyubsky М.Yu., Evdokimov S.V., Izucheev V.I. et al. // Phys. Atom. Nucl. 2013. V. 76. No. 11. P. 1324.
- 8. Евдокимов С.В., Изучеев В.И., Кондратнок Е.С. и др. // Письма в ЖЭТФ. 2021. Т. 113. № 5. С. 291; Evdokimov S.V., Izucheev V.I., Kondratyuk E.S. et al. // JETP Lett. 2021. V. 113. No. 5. P. 289.
- 9. https://nucldata.tunl.duke.edu.
- 10. *Бритвич Г.И., Бреховских В.В., Семенов В.К., Холо- денко С.А.* // Препринт ИФВЭ № 2013-23, 2013.
- 11. Chvala O., Fischer H.G., Makariev M. et al. // Preprint CERN-PH-EP-2012-154, 2012.
- Clement H., Skorodko T. // Chin. Phys. C. 2021. V. 45. Art. No. 022001.

Study of the mechanisms of hadron-nuclear interactions on the positive beam line 18 of U-70 accelerator

A. M. Gorin^a, S. V. Evdokimov^a, A. A. Zaitsev^b, V. I. Izucheev^a, E. S. Kondratyuk^a, B. V. Polishchuk^a, V. I. Rykalin^a, S. A. Sadovsky^a, *, Yu. V. Kharlov^a, A. A. Shangaraev^a

^aNational Research Centre "Kurchatov Institute"—IHEP, Protvino, 142281 Russia
^bJoint Institute for Nuclear Research, Dubna, 141980 Russia
*e-mail: Serguei.Sadovsky@ihep.ru

The upgrade project of the experimental setup Hyperon-M, located at the positive beam line of the U-70 accelerator complex in Protvino, is presented with the aim to study the mechanisms of hadron-nuclear interactions. It is proposed to upgrade the setup so that to study the excited states of secondary nuclei formed because of different types of primary hadron-nuclear interactions using precision nuclear gamma-ray spectroscopy. Potentially, this opens a new direction in nuclear physics at the junction with the physics of elementary particles at intermediate energies.